

پاسخ دینامیکی صفحات کامپوزیت الیافی تنش دار تحت بار ضربه ای عرضی

سید محمد رضا خلیلی^۱؛ ناصح محمد پناه^۲

چکیده

در این مقاله برای اولین بار، تاثیر تنش های اولیه بر پاسخ صفحات بزرگ کامپوزیت الیافی تک لایه و چند لایه متقاضن در برابر ضربه عرضی کم سرعت با روش تحلیلی بررسی شده است. تنش های اولیه از طریق اعمال بارهای کششی یا فشاری صفحه ای در حالت های تک محوری و دو محوری در امتداد سطح میانی صفحه کامپوزیتی در نظر گرفته شده است. در این تحقیق از قانون برخورد اسوکلو برای اجسام غیر ایزوتروپیک استفاده شده است. اثرات تنش های کششی و فشاری اولیه به صورت تک محوری و دو محوری بر روی نیروی برخورد، زمان برخورد و خیز مرکزی صفحه بررسی شده است. با روش تحلیلی، اثر تنش های تک محوری در راستای الیاف و عمود بر آن در کامپوزیت های تک جهته و تاثیر لایه چینی های مختلف در کامپوزیت های چند لایه با وجود تنش های اولیه، بر روی پارامترهای فوق بررسی شده است.

کلمات کلیدی

کامپوزیت الیافی - چند لایه ها - ضربه عرضی - تنش های اولیه - تحلیل دینامیکی - خیز مرکزی

Dynamic Response of Fibre Composites With Pre-Stresses Under Transverse Impact

S.M.R. Khalili¹; N. Mohammadpanah²

¹ Associate Professor, Mechanical Engineering Department, K.N.Toosi University of Technology, Tehran

² Lecturer, Mechanical Engineering Department, Islamic Azad University, Aligodarz Unit

ABSTRACT

In this paper, the effect of pre-stresses on the dynamic response of large fibre composite plates in the form of lamina and/or symmetric laminates subjected to low velocity transverse impact was studied using analytical procedure. Pre-stresses were considered in the form of tensile and compressive loads which are uni-axial as well as bi-axial types applied to the edges on mid-plane of the plate. Sveklo's contact law for anisotropic bodies was used. The effect of pre-stresses was considered on contact force, contact time and central deflection of the plate. Using the same analytical method, the effect of uni-axial pre-stresses applied along the fibres as well as perpendicular to the fibres and the effect of various ply sequences on the dynamic response of the plate subjected to transverse impact was studied.

KEYWORDS:

fibre composites, laminates, transverse impact, pre-stress, dynamic analysis, central deflection

دانشیار، گروه طراحی جامدات، دانشکده مهندسی مکانیک، دانشگاه صنعتی خواجه نصیرالدین طوسی، تهران، فلکه چهارم تهرانپارس،

بزرگراه وفادار شرقی، تلفن ۰۲۶۳۴۱۲۲، smrkhalili@mail.com

^۲ مریبی، دانشکده مهندسی مکانیک، دانشگاه آزاد اسلامی، واحد الیگودرز

۱- مقدمه

اسوکلو [۸] به جای قانون برخورد کلاسیک هرتز استفاده شده است. در این تحقیق، ضربه عرضی ناشی از برخورد گوله ای با جرم، سرعت و شعاع انحنای مشخص در مرکز صفحه کامپوزیتی در نظر گرفته شده است. همچنین در آنالیز صفحات کامپوزیتی از تئوری کلاسیک لایه ای استفاده شده است. متداول‌تری این تحقیق تحلیلی، بسط و تعمیم روش تحلیلی خلیلی [۹] و [۱۰] در آنالیز صفحات کامپوزیتی تحت ضربه عرضی است.

۲- محاسبه نیروی برخورد

در اینجا برای آنالیز برخورد الاستیک بین دو جسم غیر ایزوتروپیک از تئوری اسوکلو استفاده شده است. اصول اساسی تئوری اسوکلو در برخورد دو جسم غیر ایزوتروپیک مشابه اجسام ایزوتروپیک است. در این تئوری سطح تماس به شکل بیضی (با اقطار $2a$ و $2b$) است که بار بر روی آن به شکل سهمی توزیع می‌شود [۸].

در فاصله زمانی شروع تا پایان برخورد بین ضربه زننده و صفحه کامپوزیتی متقارن، نیرویی متغیر وابسته به زمان به وجود می‌آید که مقدار آن در هر لحظه با توجه به حرکت ضربه زننده و صفحه و پس از ساده سازی به صورت زیر به دست می‌آید [۷]:

$$\left[\frac{F(t)}{K} \right]^{2/3} = v_S t - \frac{1}{m_S} \int_0^t F(\tau)(t-\tau) d\tau - \frac{1}{4\pi^2 \sqrt{\rho h}} \int_0^t F(\tau) \int_0^{2\pi} \int_0^\infty \sin(A' p \Omega) d\varphi dp d\tau \quad (1)$$

که:

$$\Omega = (D_{11} p^2 \cos^4 \varphi + 2(D_{12} + 2D_{66}) p^2 \cos^2 \varphi \sin^2 \varphi + D_{22} p^2 \sin^4 \varphi + 4D_{16} p^2 \cos^3 \varphi \sin \varphi + 4D_{26} p^2 \cos \varphi \sin^3 \varphi + N_x \cos^2 \varphi + N_y \sin^2 \varphi)^{1/2} \quad (2)$$

$$A' = \frac{t-\tau}{\sqrt{\rho h}} \quad (3)$$

معادله (۱) یک معادله انتگرالی غیر خطی است که برای یافتن نیروی برخورد در زمان های مختلف، با روش مرحله ای (step by step) حل شده است [۹].

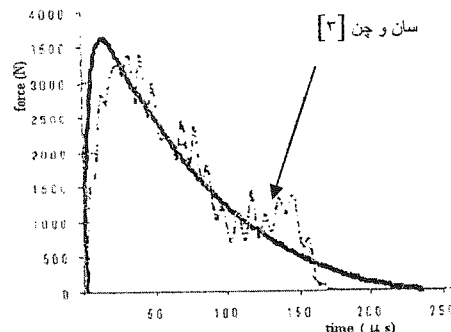
۳- آنالیز نیز صفحات کامپوزیتی متقارن تحت اثر نیروی ضربه عرضی در حضور نیروهای کششی و فشاری اولیه

معادله دیفرانسیل حرکت یک صفحه کامپوزیت با ابعاد نامحدود، که تحت بار ضربه عرضی گستردگی $f(x,y,t)$ بر

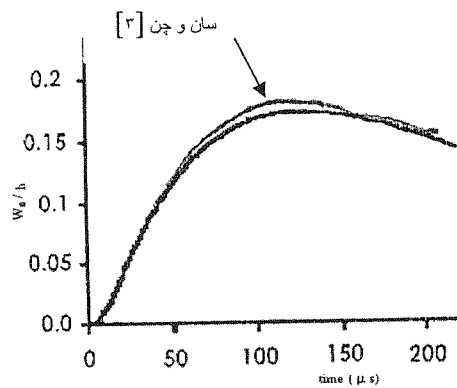
اکثر تحقیقات انجام شده بر روی عکس العمل صفحات کامپوزیت الیافی تحت ضربه عرضی با این فرض است که این صفحات فارغ از تنفس های اولیه باشند [۱]. در حالی که تنفس های اولیه تاثیر عمدی ای بر روی حداکثر نیروی برخورد، زمان برخورد و خیز مرکزی صفحات کامپوزیتی دارد [۲]. تنفس های اولیه بر اثر عوامل مختلفی مانند فرآیندهای تولید، روش های موتناز و یا تاثیر محیط ایجاد می‌شوند. برای مثال، پوسته های کامپوزیتی در سازه های ساندویچی ممکن است تحت بارهای اولیه قرار گرفته و یا تیغه های توربین موتور جت در معرض نیروهای گریز از مرکز قرار گیرند. در بررسی اثر تنفس های اولیه بر روی پارامترهای پاسخ صفحات کامپوزیتی تحت ضربه عرضی در سرعت های پایین (سرعت های کمتر از ۱۰۰ متر بر ثانیه) مهم ترین تحقیق انجام شده به روش عددی به وسیله سان و چن [۳] صورت گرفته است. آنها تنها به بررسی تاثیر تنفس های اولیه به صورت دو محوری در حالت های کششی و فشاری پرداخته اند و مقایسه ای از تاثیر این تنفس های در حالت های تک محوری و همچنین تاثیر آنها در امتداد و عمود بر الیاف در هر لایه ارائه نشده است. همچنین سان و چاتوپادیای [۴] و دوبینز [۵] با استفاده از روش برخورد هرتز و تئوری کلاسیک صفحات با روش المان محدود، ضربه صفحات خاص کامپوزیتی را با حضور تنفس های اولیه بررسی کردند. راب و همکارانش [۶] با مطالعه تجربی تاثیر تنفس های اولیه صفحه ای را بر روی نیروی برخورد ارزیابی کردند و همان نتایج سان و چن را به دست آورden. تاکنون فعالیت و تحقیقاتی در این زمینه به روش تحلیلی مشاهده نشده است [۷]. در این تحقیق، تاثیر تنفس های اولیه به صورت تک محوری و دو محوری در حالت های کششی و فشاری بر روی پاسخ صفحات کامپوزیتی تک لایه و چند لایه متقارن، تحت ضربه عرضی با روش تحلیلی بررسی شده است. منظور از پاسخ صفحه زمان برخورد، نیروی برخورد، حداکثر نیروی برخورد و خیز صفحه در نقاط مختلف تنفسی حاصل از ضربه زمان کافی برای رسیدن به مرزها را ندارد و در نتیجه، مرزها را تحت تاثیر قرار نمی‌دهند، می‌توان صفحه کامپوزیتی را به صورت صفحه ای با ابعاد بی نهایت مدل کرد. در اینجا نیز در بررسی اثر ضربه های با سرعت پایین، مدل صفحه بی نهایت در نظر گرفته شده است. به علت غیر ایزوتروپیک بودن صفحات کامپوزیتی از قانون برخورد

در شکل (۱) منحنی نیروی برخورد ناشی از برخورد گلوله ای به جرم 8.4gr ، شعاع 3.175mm و سرعت 30m/s را در سطح روی صفحه با مشخصات ذکر شده در بالا با وجود نیروهای کششی دو محوری 240.6KN/m مدل حاضر و نتایج سان و چن [۲] نشان داده شده است. منحنی با خط پیوسته نتایج به دست آمده از مدل حاضر است. مراکزیم نیروی برخورد حاصل از این مدل 3624.68N است که با مقدار به دست آمده به وسیله سان و چن، 4 درصد خطا دارد.

در شکل (۲) نیز نتایج خیز مرکزی مدل حاضر با نتایج مرجع فوق برای ضربه زننده ای به جرم 8.4gr و سرعت 10m/s بر صفحه ای با نیروهای کششی دو محوری اولیه 240.6KN/m نشان داده است. منحنی پر رنگ تر حاصل تحقیق حاضر است و منحنی کم رنگ تر نتایج تحقیق سان و چن [۳] را نشان می دهد. همان طورکه از شکل (۲) پیداست، نتایج هر دو تحقیق با اختلاف بسیار کمی (کمتر از 3 درصد) بر هم منطبق هستند. در واقع، به کارگیری مدل حاضر (در نظر گرفتن صفحه ای با ابعاد نامحدود) در سرعت های پایین تقریب بسیار خوبی برای بررسی اثر ضربه عرضی بر روی صفحات کامپوزیتی است.



شکل (۱): منحنی نیروی برخورد بر حسب زمان



شکل (۲): منحنی خیز مرکزی به ضخامت صفحه بر حسب زمان

روی سطح تماس و بارهای یکنواخت N_x, N_y در سطح میانی صفحه قرار دارد، به صورت زیر به دست می آید [۷]:

$$D_{11} \frac{\partial^4 w_0(x, y, t)}{\partial x^4} + 2(D_{12} + 2D_{66}) \frac{\partial^4 w_0(x, y, t)}{\partial x^2 \partial y^2} + D_{22} \frac{\partial^4 w_0(x, y, t)}{\partial y^4} + 4D_{16} \frac{\partial^4 w_0(x, y, t)}{\partial x^3 \partial y} + 4D_{26} \frac{\partial^4 w_0(x, y, t)}{\partial x \partial y^3} + \rho h \frac{\partial^2 w_0(x, y, t)}{\partial t^2} = f(x, y, t) + N_x \frac{\partial^2 w_0(x, y, t)}{\partial x^2} + N_y \frac{\partial^2 w_0(x, y, t)}{\partial y^2} \quad (۴)$$

با حل معادله فوق به روش تبدیل فوریه [۱۱]، با فرض تاچیز بودن w_0 و مشتقهای آن در فاصله خیلی دور از محل برخورد در یک صفحه نامحدود و یک سری ساده سازی ها، معادله زیر برای خیز نقاط مختلف صفحه در زمان های مختلف به دست می آید:

$$w_0(x, y, t) = \frac{3}{4\pi^2 \sqrt{\rho h}} \int_0^{2\pi\infty} F(\tau) \int_0^{2\pi\infty} \cos[(x \cos \varphi + y \sin \varphi)p] g(A) \frac{\sin(A' p \Omega)}{\Omega} dp d\varphi d\tau \quad (5)$$

$$g(A) = \frac{1}{A^2} \left(\frac{\sin A}{A} - \cos A \right) \quad (6)$$

$$A^2 = a^2 p^2 (1 - \varepsilon^2 \sin^2 \theta) \quad (7)$$

معادله خیز مرکزی صفحه با قرار دادن مقدار صفر به جای x و y در معادله (۵) به صورت زیر به دست می آید:

$$w_0(0, 0, t) = W_0(t) = \frac{3}{4\pi^2 \sqrt{\rho h}} \int_0^{2\pi\infty} F(\tau) \int_0^{2\pi\infty} \int_0^{2\pi\infty} g(A) \frac{\sin(A' p \Omega)}{\Omega} dp d\varphi d\tau \quad (8)$$

۴- ارزیابی مدل

در اینجا برای ارزیابی و دقت مدل، صفحه چند لایه متقارن تحت نیروی ضربه عرضی و با حضور نیروهای کششی اولیه که به وسیله سان و چن [۳] به روش المان محدود ارزیابی شده است، در نظر می گیریم و با روش حاضر حل کرده و نتایج آنها را با هم مقایسه می کنیم. این صفحه ۲۰ لایه به صورت $[0/45/0/-45/0]_{25}$ دارد که قبل از ضربه تحت نیروهای کششی دو محوری اولیه 240.6KN/m است. این ورق از جنس کربن-اپوکسی با مشخصات زیر است:

$$E_1 = 120\text{GPa}, E_2 = E_3 = 7.9\text{GPa}, G_{12} = G_{13} = G_{23} = 5.5\text{GPa}$$

$$\nu_{12} = \nu_{13} = \nu_{23} = \nu_{32} = 0.3, \nu_{31} = \nu_{21} = 0.01975$$

$$h = 0.269\text{cm}, \rho = 1580\text{kg/m}^3$$

نتایج حاصل از حل معادلات اسوکلو به صورت زیر است:

$$\varepsilon^2 = 0.916$$

$$\frac{K}{\sqrt{r_S}} = 2.42 \times 10^9 \left(\frac{N}{m^2} \right), \quad \frac{Fr_S}{a^3} = 1.647 \times 10^{10} \left(\frac{N}{m^2} \right)$$

اهمیت از مقایسه تاثیر نیروهای تک محوری این است که چه در حالت کششی و چه در حالت فشاری تاثیر نیروهای تک محوری در راستای عمود بر الیاف از تاثیر نیروهای در راستای الیاف به مراتب بیشتر است. در واقع، عمدۀ تاثیرات نیروهای دو محوری کششی و فشاری اولیه را می‌توان ناشی از تاثیر این نیروها در جهت عمود بر الیاف دانست، چرا که نیروهای کششی و فشاری در جهت الیاف تاثیر ناچیزی بر روی حداکثر نیروی برخورد می‌گذارند.

تاثیر نیروهای تک محوری و دو محوری کششی و فشاری اولیه بر روی خیز مرکزی صفحه در شکل (۵) نشان داده شده است و با حالتی که صفحه تنها تحت ضربه عرضی قرار گرفته، مقایسه شده است. همان طورکه در این شکل مشاهده می‌شود و انتظار می‌رود، نیروهای کششی اولیه باعث کاهش خیز مرکزی صفحه می‌شوند، در حالی که نیروهای فشاری اولیه باعث افزایش خیز مرکزی صفحه می‌شوند. نکته جالبی که می‌توان از نمودارهای خیز مرکزی صفحه مشاهده کرد این است که در حالتی که صفحه تحت نیروهای کششی اولیه واقع می‌شود، حداکثر خیز در پایان برخورد روی نمی‌دهد؛ به این معنا که زمان رسیدن به حداکثر خیز کمتر از زمان برخورد است. در حالی که در صفحه‌ای بدون نیروهای اولیه و نیز در حالت‌هایی که صفحه نیروهای فشاری اولیه دارد، خیز مرکزی تا موقعی که نیرو به صفر بر می‌گردد، افزایش می‌یابد. همانند مقایسه تاثیر نیروهای کششی و فشاری تک محوری اولیه بر روی نیروی برخورد، در اینجا نیز مشاهده می‌شود که تاثیر نیروهای اولیه در راستای عمود بر الیاف بر روی خیز مرکزی از تاثیر نیروهای در راستای الیاف بیشتر است.

در مورد تاثیر نیروهای کششی اولیه بر روی زمان برخورد از شکل (۳) مشاهده می‌شود که این نیروها زمان برخورد را کاهش می‌دهند. تاثیر نیروهای فشاری اولیه بر روی زمان برخورد را می‌توان از دو جهت بررسی کرد. اول این که چنانچه مسأله برخورد را تا زمان برگشت نیروی برخورد به مقدار صفر در نظر بگیریم، این نیروها زمان برگشت نیروی برخورد به مقدار صفر را کاهش می‌دهند. این موضوع با توجه به نمودارهای شکل (۳) پیداست. دوم این که با توجه به نمودارهای تاثیر نیروهای فشاری اولیه بر روی خیز مرکزی صفحه در شکل (۵)، دیده می‌شود که برخلاف حالت کششی و حالتی که صفحه تنها تحت تاثیر ضربه عرضی است، خیز مرکزی صفحه تا موقعی که نیروی برخورد به صفر بر می‌گردد سیر صعودی داشته و زمان رسیدن خیز به مقدار حداکثر برخلاف حالت‌های یاد شده بسیار بیشتر است.

۵- تاثیر نیروهای کششی و فشاری صفحه ای اولیه بر روی نیروی برخورد، زمان برخورد و خیز مرکزی در یک صفحه کامپوزیتی تک لایه

در بررسی چگونگی تاثیر نیروهای کششی و فشاری صفحه ای اولیه بر روی نیروی برخورد، زمان برخورد و خیز مرکزی، ضربه زننده ای کروی از جنس فولاد و یک صفحه کامپوزیت تک لایه و تک جهت‌های با ابعاد نامحدود از جنس کربن-اپوکسی با مشخصات زیر در نظر گرفته شده است. محور x در جهت الیاف و محور y در جهت عمود بر الیاف (است).

۱-۱-مشخصات ضربه زننده فولادی

$$E_S = 211(GPa), G_S = 82.46(GPa), \nu_S = 0.28, \\ \rho = 7850(\frac{Kg}{m^3}), r_S = 25.4(mm)$$

۲-مشخصات صفحه کامپوزیت الیاف کربن-اپوکسی

$$E_{11} = 123(GPa), E_{22} = E_{33} = 9.5(GPa), \\ G_{12} = G_{13} = 4.7(GPa) \\ \nu_{12} = \nu_{13} = 0.3, \nu_{31} = \nu_{21} = 0.023, \nu_{32} = \nu_{23} = 0.48 \\ D_{11} = 5284(Nm), D_{22} = 408(Nm), \\ D_{12} + 2D_{66} = 524(Nm), D_{16} = D_{26} = 0 \\ h = 8(mm), \rho = 1515(\frac{Kg}{m^3}), V_f = 0.6$$

نتایج تئوری برخورد اسوکلو - هرتز عبارتند از:

$$\epsilon^2 = -0.418 \\ Fr_S = 2.325 \times 10^{10} (\frac{N}{m^2}) , K = 277 \times 10^7 (\frac{N}{m^{3/2}}) \\ \text{در اینجا تاثیر نیروهای کششی و فشاری اولیه در حالت‌های تک محوری و دو محوری بر روی نیروی برخورد، حداکثر نیروی برخورد، زمان برخورد و خیز مرکزی یک صفحه کامپوزیتی تک لایه و تک جهت ناشی از ضربه عرضی گلوله ای کروی شکل به جرم } m_S = 0.2199Kg \text{ و سرعت } v_S = 0.25m/s \text{ بررسی شده است. نیروهای کششی و فشاری برابر باشد } 300KN/m \text{ در حالت‌های تک محوری و دو محوری در راستای الیاف و عمود بر آن در نظر گرفته شده است و با حالتی که صفحه کامپوزیتی فارغ از نیروهای اولیه است، مقایسه شده اند.}$$

در شکل‌های (۳) و (۴) تاثیر نیروهای کششی و فشاری اولیه در حالت‌های تک محوری و دو محوری بر روی نیروی برخورد و حداکثر نیروی برخورد نشان داده شده است. همان طورکه مشاهده می‌شود، نیروهای کششی اولیه باعث افزایش نیروی برخورد می‌شوند در حالی که نیروهای فشاری اولیه نتیجه معکوسی را نشان می‌دهند؛ اما نتیجه حائز

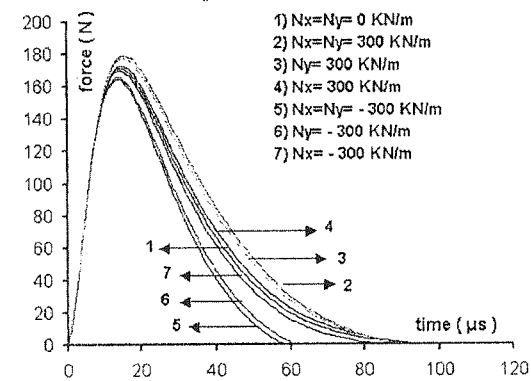
۶- تاثیر لایه چینی های مختلف بر پاسخ صفحه کامپوزیتی تحت ضربه عرضی با وجود تنش های اولیه تک محوری و دو محوری

بعد از بررسی تاثیر نیروهای صفحه ای اولیه بر رفتار یک صفحه کامپوزیت تک لایه، تاثیر این نیروها بر روی یک صفحه چند لایه بررسی می شود. برای بررسی تاثیر لایه چینی های مختلف صفحه بر روی واکنش صفحه در مقابل ضربه عرضی در حضور نیروهای اولیه، صفحه متقاضن ۱۰ لایه با چهار لایه چینی متفاوت به صورت زیر در نظر گرفته شده است.

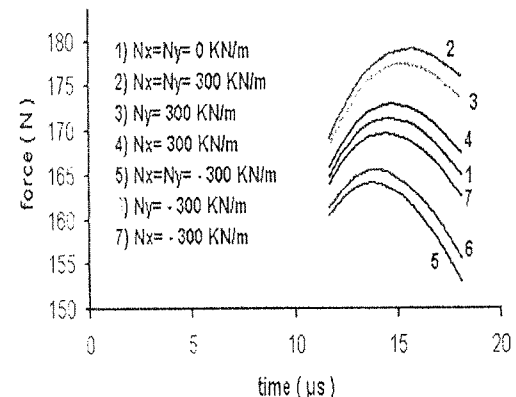
- ۱- صفحه ای با لایه های تک جهته (نوع اول) : $[0]_{10}$
- ۲- صفحه متقاضن کراس پلای (نوع دوم) : $[0/90/0/90/0]_s$
- ۳- صفحه متقاضن و بالانس (نوع سوم) : $[0/45/0/-45/0]_s$
- ۴- صفحه متقاضن در حالت کلی (نوع چهارم) : $[0/60/30/45/90]_s$

مشخصات صفحات و خصوصیات آنها از قبیل ماتریس-های C ، D و غیره در مرجع [۷] به دست آمده است. ترتیب حاصل از مقایسه اثر نیروهای کششی اولیه در حالت های تک محوری و دو محوری بر روی حداکثر نیروی برخورد، زمان برخورد و خیز مرکزی صفحه در جدول (۱) ارائه شده است که اثر لایه چینی های مختلف را بر روی پارامترهای فوق نشان می دهد. همچنین درصد افزایش حداکثر نیروی برخورد و کاهش زمان برخورد و خیز مرکزی صفحه نسبت به صفحه ای بدون بارهای اولیه در همین جدول نشان داده شده است. ترتیب حاصله نشان می دهد که هر چه صفحات چند لایه در جهات x و y لازمیت شوند، اثرات نیروهای کششی اولیه بر روی پارامترهای فوق کمتر خواهد شد. بالعکس چنانچه الیاف در راستایی به غیر از نیروهای اولیه قرار گیرند تاثیر بسزایی در مقادیر پارامترهای فوق خواهد داشت. در شکل (۶) نسبت خیز مرکزی صفحات کامپوزیتی با وجود تنش های اولیه و ضربه عرضی به خیز مرکزی؛ که تنها تحت ضربه رخ می دهد، نشان داده شده است. با توجه به وجود لایه های صفر درجه الیاف در صفحات، تاثیر N_x در کاهش خیز مرکزی بیشتر به چشم می خورد. تاثیر N_y و N_z در صفحه نوع دوم با توجه به وجود لایه های صفر و نود درجه الیاف تقریباً نزدیک به هم است. در شکل (۶) مشاهده

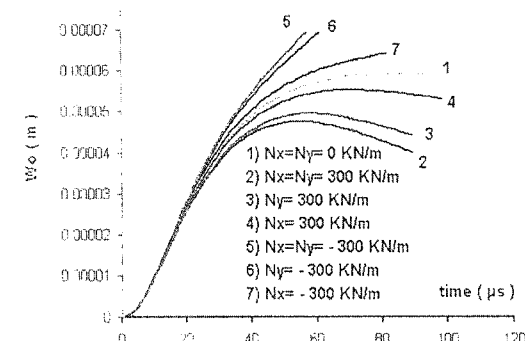
اگر مسئله برخورد با این دید بررسی شود، مشاهده می شود که نیروهای فشاری اولیه، زمان رسیدن به حداکثر خیز را افزایش می دهد. در این بحث نیز مشابه بحث های گذشته، تاثیر نیروهای دو محوری فشاری از نیروهای تک محوری بیشتر است. با مقایسه حالت های تک محوری نیز مشاهده می شود که تاثیر نیروهای فشاری عمود بر الیاف خیلی بیشتر از تاثیر نیروهای فشاری در راستای الیاف است.



شکل (۳): تاثیر نیروهای کششی و فشاری تک محوری و دو محوری اولیه بر روی نیروی برخورد



شکل (۴): تاثیر نیروهای کششی و فشاری تک محوری و دو محوری اولیه بر روی حداکثر نیروی برخورد



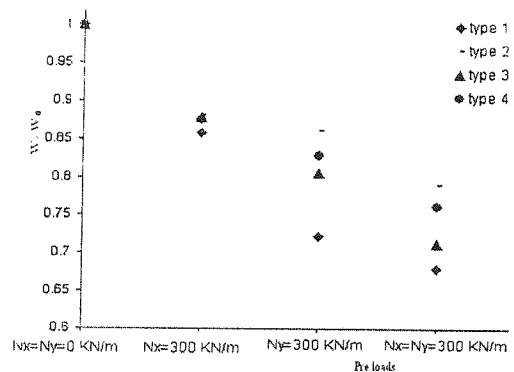
شکل (۵): تاثیر نیروهای کششی و فشاری تک محوری و دو محوری اولیه بر روی خیز مرکزی صفحه

- ۴ - در حالتی که صفحه تنها تحت نیروی ضربه عرضی یا تحت نیروهای ضربه و فشاری اولیه باشد خیز مرکزی صفحه تا لحظه ای که نیروی برخورد به صفر برسد می‌گردد افزایش می‌یابد؛ اما تاثیر نیروهای کششی اولیه بر روی خیز مرکزی صفحه به گونه‌ای است که حداقل خیز قبل از پایان برخورد روی می‌دهد. در واقع با وجود نیروهای کششی اولیه زمان حداقل خیز صفحه از زمان برخورد کمتر می‌شود.
- ۵ - با بررسی صفحات چند لایه و لایه چینی آنها مشاهده می‌شود که وجود الیاف در راستای اعمال نیروهای اولیه باعث کاهش اثرات در رفتار صفحات می‌شود.
- ۶ - با توجه به درصد خطای ناچیز نتایج مدل حاضر با نتایج حل عددی و تجربی، می‌توان با تقریب بسیار خوبی مدل حاضر را در آنالیز صفحات تحت ضربه به کار برد.

۸- فهرست علائم

پارامتر هرتز - اسوکلو برای تماس	K
سرعت ضربه زننده	v_s
جرم ضربه زننده	m_s
دانسیته ماده صفحه	ρ
نیروی ضربه عرضی وابسته به زمان	$f(x, y, t)$
ضخامت صفحه	h
نیروی اولیه وارد بر صفحه در جهت الیاف	N_x
نیروی اولیه وارد بر صفحه در جهت الیاف	N_y
خیز سطح میانی صفحه	$w_0(x, y, t)$
نیم محورهای اصلی منطقه بیضی تماس	b و a
شعاع ضربه زننده	r_s
حداقل خیز صفحه	$W_{0\max}$
حداقل زمان ضربه یا برخورد	T_{\max}
حداقل نیروی ضربه یا برخورد	F_{\max}
سفتی‌های خمشی صفحه به ترتیب در امتداد و عمود بر جهت الیاف	D_{22} و D_{11}
سفتی موثر صفحه	$D_3 = D_{12} + 2D_{66}$
کوپل خمشی - پیچشی	D_{26} و D_{16}
مدول ارتجاعی صفحه کامپوزیت در جهات مختلف	E_i
نسبت‌های پواسون صفحه کامپوزیت	v_{ij}
مدول‌های برشی صفحه کامپوزیت	G_{ij}
مدول ارتجاعی ماده هم سانگرد	E
نسبت پواسون ماده هم سانگرد	v

می‌شود که تاثیر نیروهای دو محوری بیشتر از نیروهای تک محوری است.



شکل (۶): اثر لایه چینی‌های مختلف بر روی خیز مرکزی صفحه با وجود نیروهای اولیه

۷- نتیجه

در تحقیق حاضر به روش تحلیلی و با به کارگیری تئوری تماس اسوکلو در برخورد الاستیک اجسام غیر ایزوتروپیک، معادلات حاکم در آنالیز خیز صفحات کامپوزیتی الیافی با وجود نیروهای کششی و فشاری اولیه تحت بارهای ضربه عرضی به دست آمده و از حل آنها نتایج زیر حاصل شده است:

۱- بسا در نظر گرفتن نیروهای کششی متساوی و به صورت‌های تک محوری و دو محوری بر صفحه کامپوزیتی، نتیجه جالبی حاصل می‌شود که عده تاثیرات در کاهش یا افزایش پارامترهای مربوط به ضربه به واسطه اعمال نیروهای کششی اولیه در جهتی است که صفحه مقاومت کمتری دارد. به نظر می‌رسد که این نیروها باعث افزایش سفتی صفحه در امتداد اعمال نیروها می‌شوند.

۲ - در بررسی تاثیر نیروهای فشاری به صورت تک محوری و دو محوری بر روی عکس العمل صفحه کامپوزیتی در مقابل ضربه مشخص شد که این نیروها برخلاف نیروهای کششی باعث کاهش نیروی برخورد و زمان نیروی حداقل می‌شوند و خیز مرکزی صفحه را همان طورکه انتظار می‌رفت، افزایش می‌دهند. در بررسی اثر نیروهای تک محوری یا دو محوری نتیجه‌ای مشابه با نیروهای کششی حاصل می‌شود که در این حالت نیز تاثیر نیروها در جهت مقاومت کم صفحه از تاثیر این نیروها در جهتی که صفحه مقاومت بیشتری دارد، بر روی رفتار صفحه در مقابل ضربه بیشتر است.

۳ - تاثیر نیروهای دو محوری بیشتر از نیروهای تک محوری است.

جدول (۱) : اثر لایه چینی های مختلف صفحه بر روی پارامترهای مختلف

نیروهای اولیه	پارامترهای محاسبه شده	صفحه نوع اول	صفحه نوع دوم	صفحه نوع سوم	صفحه نوع چهارم
$N_x = N_y = 0$ (kN/m)	F_{\max} (N)	329.19	407.37	375.38	383.29
	$T \max(\mu S)$	402.532	241.85	298.77	280.33
	$W_0 \max(\mu m)$	223.62	167.73	186.20	181.16
$N_x = N_y = 300$ (kN/m)	F_{\max} (N)	353.23	424.2	402.26	402.58
	% ΔT_{\max}	7.3	4.13	7.1	5.32
	$T \max(\mu S)$	242.62	217.12	224.16	225.37
	% ΔW_{\max}	-39.73	-10.22	-24.97	-19.6
	$W_0 \max(\mu m)$	152.054	132.95	132.76	138.10
	% $\Delta W_{0\max}$	-32	-20.73	-28.7	-23.76
$N_y = 300$ (kN/m)	F_{\max} (N)	347.44	414.22	389.26	394.21
	% ΔF_{\max}	5.54	1.68	3.7	2.85
	$T \max(\mu S)$	250.89	230.86	235.095	236.36
	% ΔT_{\max}	-37.69	-4.54	-21.31	-15.68
	$W_0 \max(\mu m)$	161.72	144.36	149.95	149.88
	% $\Delta W_{0\max}$	-27.68	-13.93	-19.46	-17.27
$N_x = 300$ (kN/m)	F_{\max} (N)	334.12	415.96	381.64	389.26
	% ΔF_{\max}	1.5	2.1	1.67	1.56
	$T \max(\mu S)$	339.11	225.36	270.63	255.6
	% ΔT_{\max}	-15.75	-6.81	-9.41	-8.82
	$W_0 \max(\mu m)$	191.91	147.75	163.65	158.49
	% $\Delta W_{0\max}$	-14.18	-11.91	-12.11	-12.51

۹- مراجع

- [۱] خلیلی، سید محمد رضا، آنالیز ضربه عرضی یک جسم متجرد بر روی صفحه ارتوپاپیک و بررسی بعضی از پارامترهای موثر در آن، مجله علمی و پژوهشی امیرکبیر، دانشگاه صنعتی امیرکبیر، شماره ۵۰، ص ۲۹۵ تا ۳۰۶، بهار ۱۳۸۱.
- [۲] خلیلی، سید محمد رضا؛ محمد بناه، ناصح، آنالیز ضربه بر روی صفحات کامپوزیتی در حضور تنش های اولیه، مجموعه مقالات دهمین کنفرانس بین المللی مهندسی مکانیک، دانشگاه صنعتی خواجه نصیرالدین طوسی، جلد چهارم، ص ۲۲۰ تا ۲۲۲، خرداد ۱۳۸۱.
- [۳] Sun, C.T.; Chen, J.K.; "On the Impact of Initially Stressed Composite Laminates", Jl. of Composite Materials, Vol. 19, pp 490-504, 1985
- [۴] Sun, C.T.; Chattopadhyay, S.; "Dynamic Response of Anisotropic Laminated Plates Under Initial Stress to Impact of A Mass", Jl. of Applied Mechanics, Vol. 42, pp 693-698, 1975
- [۵] Dobyns, A.L.; "Analysis of Simply Supported Orthotropic Plates", Jl. of AIAA, Vol 19, pp 642-650, 1981
- [۶] Robb, M.D.; Arnold, W.S.; Marshal, I.H.; "The Damage Tolerance of GRP Laminates Under Uniaxial Pre-Stresses", Jl. of Composite Structures, Vol. 32, pp 141-149, 1995
- [۷] محمد بناه، ناصح، آنالیز ضربه بر روی صفحات کامپوزیت با حضور تنش های اولیه، پایان نامه کارشناسی ارشد، تهران، دانشگاه صنعتی خواجه نصیرالدین طوسی، بهار ۱۳۸۱.
- [۸] Sveiklo, V.A.; "Hertz Problem of Compression of Anisotropic Bodies", Jl. of Applied Mathematics and Mechanics, Vol. 38, 1023-1027, 1974
- [۹] Khalili, M.R.; "Analysis of The Dynamic Response of Large Orthotropic Elastic Plates to Transverse Impact and Its Application to Fibre Reinforced Plates", Ph.D. Thesis, I.I.T. Delhi, May, 1992
- [۱۰] Mittal, R.K.; Khalili, M.R.; "Dynamic Response of Composite Plates Subjected to Moving Body", Jl. of AIAA, Vol. 32, 850-858, 1994
- [۱۱] Sneddon, I.N.; "Fourier Transform", Mc-Graw Hill, New York, 1951